

Computer Vision

Séance 1

Stephane Ayache

Qarma, LIS – M2 IAAA

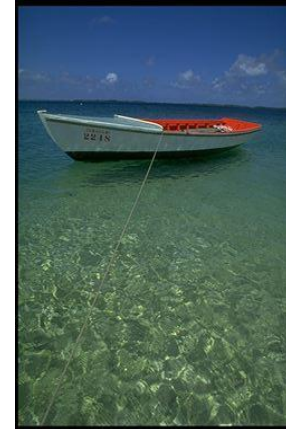
Motivations



Motivations

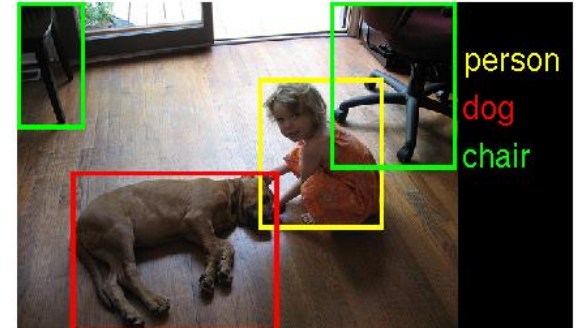
- Grande quantité d'images, de multiples applications
 - généraliste, médicale, robotique, biométrie, surveillance, ...
 - apprentissage/classification, recherche d'information
- Besoin d'analyser, classer, comparer des images
 - La comparaison s'opère à partir d'une **représentation**
 - Les pixels constituent une première représentation mais très peu robustes aux variations de luminosité, échelle, occlusion, rotation, ...

Motivations

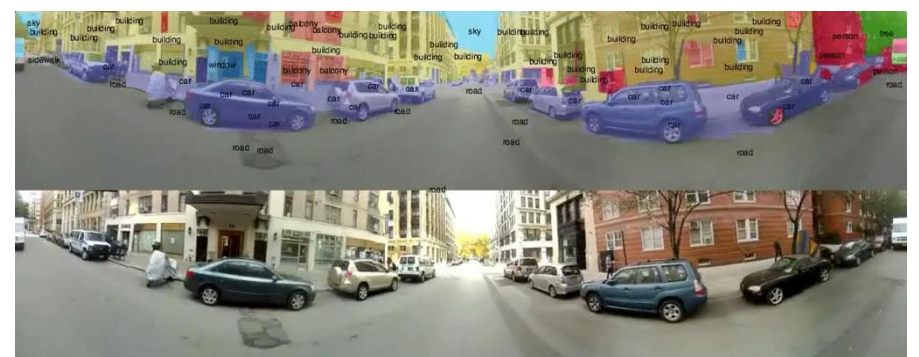
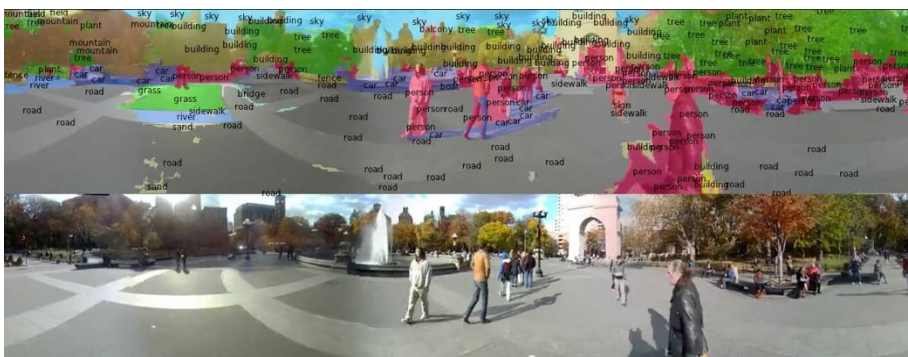


Motivations

- Interprétation de scènes, détection d'objets
 - Plusieurs niveau d'interprétations, signal vs sémantique (cf cerveau humain)
 - Problème difficile !



- Vers un très grand nombre d'images d'apprentissage et de classes ⇒ Big data !
 - Les approches classiques ne passent pas à l'échelle
 - Un apprentissage semi-supervisé et/ou incrémental peu aider..

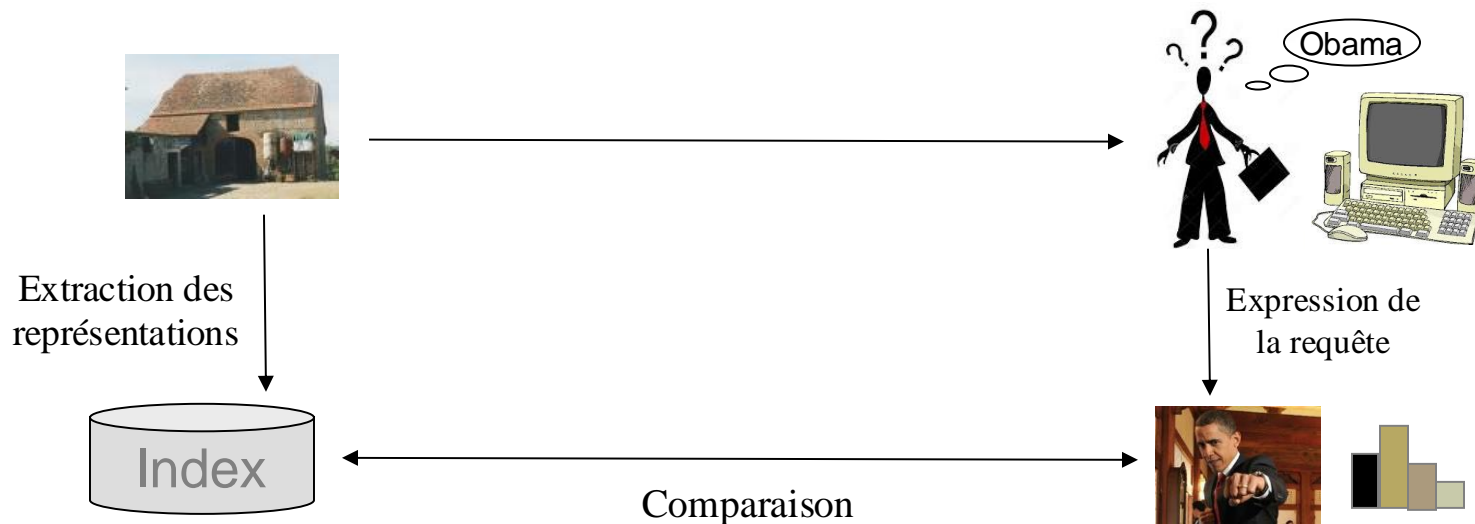


Outline

- Computer vision avant 2012
 - L'ancêtre du CBIR : histogramme de couleur...
 - Filtrage d'images, convolutions, points d'intérêts
 - Paradigme "Bag of Visual Words"
 - Pooling et pyramidal features
- Quelques mots sur l'apprentissage de dictionnaires (sparse coding) pour l'image
- Convolutional Neural Network

CBIR : Content-based Image Retrieval

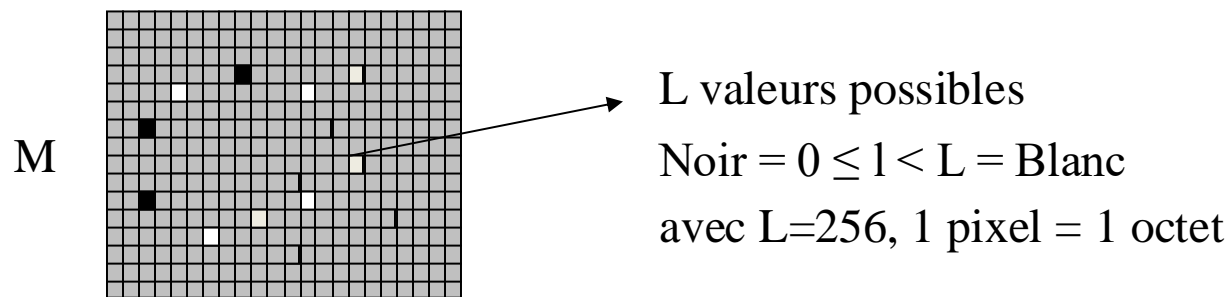
- Recherche d'images par le contenu (début 1990s)
 - Interrogation par une image exemple (ou représentation)



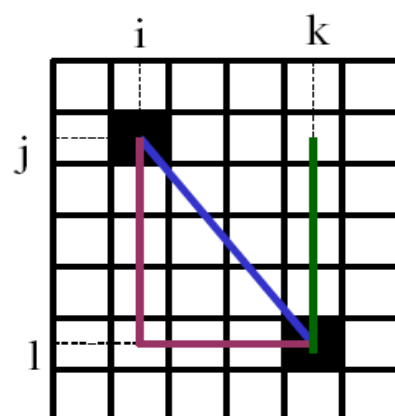
- Besoin d'une représentation la plus discriminante possible : descripteur d'images
 - Couleur, texture, forme, ...

Image : la structure de donnée

- Un tableau de NxM pixels
 - Une matrice 2D NxM
 - Exemple : Image en niveaux de gris

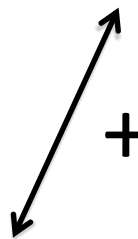
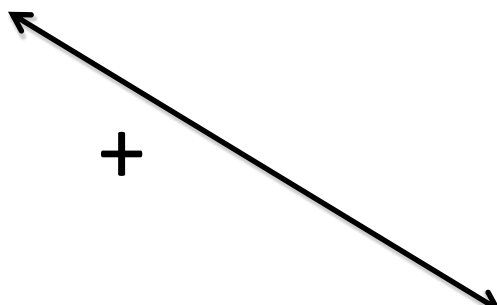
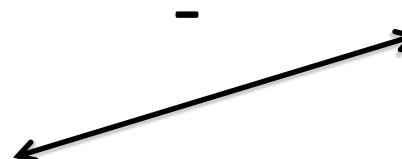


- Un pixel est un élément atomique de l'image
 - Binaire, Intensité, Couleur (RGB), ...
 - Dimension?
 - Distance



- **Euclidean Distance**
 $\sqrt{(k - i)^2 + (l - j)^2}$
- **Block Distance**
(Manhattan)
 $|k - i| + |l - j|$
- **Chess Distance**
 $\max(|k - i|, |l - j|)$

Représentation et correspondance



Quelques descripteurs d'images

Quelques espaces de couleur

- Linéaires :

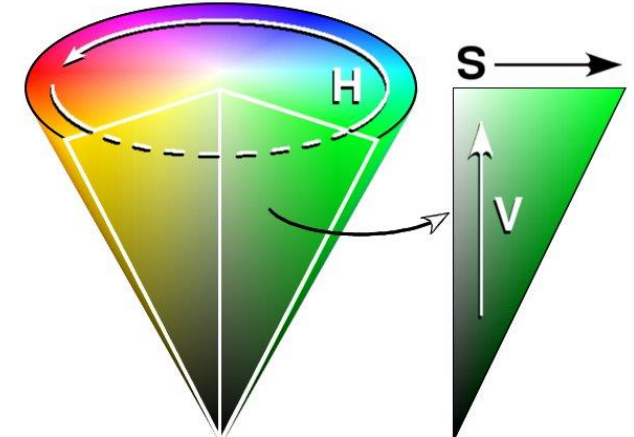
- RGB : Rouge, vert, bleu.
 - Système de couleur additif
- YCbCr : Luminance, Chrominances (L-rouge, L-bleu)

$$\begin{vmatrix} +0.299 & +0.587 & +0.114 \\ -0.169 & -0.441 & +0.500 \\ +0.500 & -0.418 & -0.081 \end{vmatrix} \begin{matrix} R \\ G \\ B \end{matrix} = \begin{vmatrix} Y \\ C_r \\ C_b \end{vmatrix}$$

$$\begin{vmatrix} +1.000 & +0.000 & +1.402 \\ +1.000 & -0.344 & -0.704 \\ +1.000 & +1.772 & +0.000 \end{vmatrix} \begin{matrix} Y \\ C_r \\ C_b \end{matrix} = \begin{vmatrix} R \\ G \\ B \end{vmatrix}$$

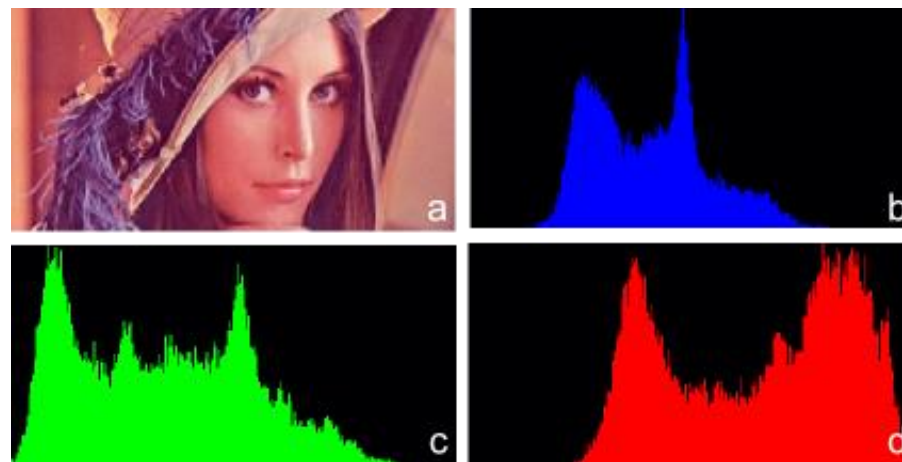
- Non linéaires :

- HSV : Hue, Saturation, Value,
 - LAB : Luminance, Chrominances
- ⇒ Les distances euclidiennes entre couleurs sont plus proches des différences perçues par les humains



Histogrammes de couleur

- Un histogramme par canal de couleur :
 - Histogramme composante par composante ou histogramme unique si l'image est monochrome,
 - Discrétisation : l'espace des valeurs de l'intensité est décomposé en intervalles complémentaires (batons ou « bins »),
 - Pour chaque intervalle, on calcule le pourcentage de pixels de l'image dont l'intensité s'y trouve

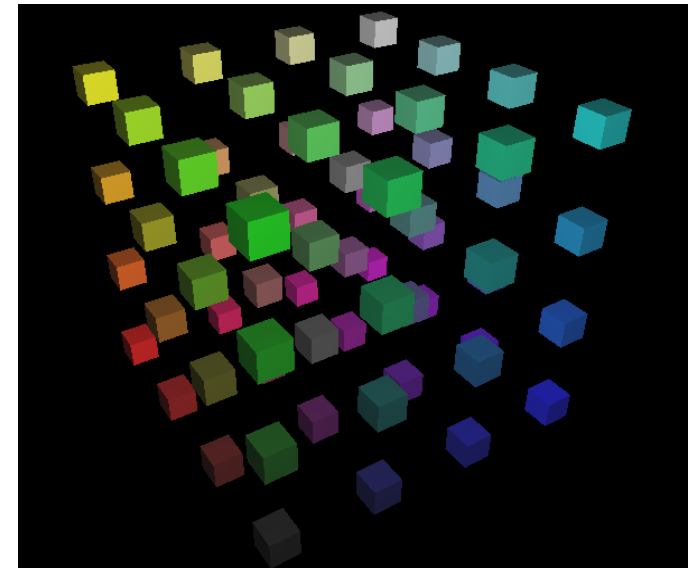


- Le vecteur de ces pourcentages est le descripteur
- Possibilité de considérer trois histogrammes pour les images en couleur

Histogrammes de couleur

- Multidimensionnels :

- L'espace des valeurs de pixels est multidimensionnel (en général de dimension 3)
- L'espace des valeurs est décomposé (discrétisé) en parallélépipèdes complémentaires (« bins »)
- Mesure les cooccurrences entre canaux de couleur
- Pour chaque parallélépipède, on calcule le pourcentage de pixels de l'image dont l'intensité s'y trouve,
- Ce tableau est le descripteur (on peut toujours le voir comme un vecteur si on sérialise les composantes).



> `python color_histogram3D.py`

Descripteurs à base de points d'intérêt

- Points de « haute courbure » ou « coins »,
 - Points géométriques « singuliers » de la surface $\text{Image}[i][j]$
- Extraits par divers **filtres** [Schmid 2000] :
 - Calcul des dérivées spatiales à une échelle donnée,
 - Convolution par des dérivées de gaussienne (Sobel, ...)
 - Construction d'invariants par une combinaison appropriée de ces diverses dérivées (module du gradient par exemple),
 - Chaque point est sélectionné puis représenté par un ensemble de valeurs de ces invariants (histogramme de directions)
- L'ensemble des points sélectionnés est organisé topologiquement (relations entre points « voisins ») : SIFT
 - Descriptions très volumineuses !

Filtrage

- Le traitement d'un pixel dépend de ses voisins
- Permet de nombreuses opérations sur les images
 - Flou, points d'intérêt, contour, réhaussement, ...
- Espace Fourier / Spatial
 - Une multiplication dans le domaine de Fourier équivaut à une convolution dans le domaine spatial
- Opérateur de convolution

$$(f * g)(x) = \int_{-\infty}^{+\infty} f(x-t) \cdot g(t) \cdot dt = \int_{-\infty}^{+\infty} f(t) \cdot g(x-t) \cdot dt$$

Filtrage : convolution

- Opérateur de convolution
 - Parcourt de l'image en glissant une fenêtre : le noyau de convolution
- Approximation dans un voisinage de pixels
 - Typiquement 3x3, 5x5, 7x7, ...
- Exemple en 1D

$$\begin{bmatrix} 1 & 2 & 3 & 4 & 5 & 6 & 7 \\ 2 & 3 & 1 \end{bmatrix} \quad \rightarrow \quad 2 + 6 + 3 = 11$$

$$\begin{bmatrix} 1 & 2 & 3 & 4 & 5 & 6 & 7 \\ 2 & 3 & 1 \end{bmatrix} \quad \rightarrow \quad 4 + 9 + 4 = 14$$

$$\begin{bmatrix} 1 & 2 & 3 & 4 & 5 & 6 & 7 \\ 2 & 3 & 1 \end{bmatrix} \quad \rightarrow \quad 6 + 12 + 5 = 23$$

Et ainsi de suite... à la fin, la réponse de la convolution est le vecteur [11 14 23 29 35]

Quelques noyaux pour image

- Filtre « Moyenneur »

$$\frac{1}{9}$$

1	1	1
1	1	1
1	1	1

- Alternative plus précise

$$\frac{1}{16}$$

1	2	1
2	4	2
1	2	1

- Intègre plus de 80% des approximations discrètes d'une gaussienne
- Génère du « flou » → diminue le contraste

Détection d'orientations

- Noyaux des gradients horizontaux et verticaux :

Opérateurs de Sobel

S_x

-1	0	1
-2	0	2
-1	0	1

S_y

-1	-2	-1
0	0	0
1	2	1

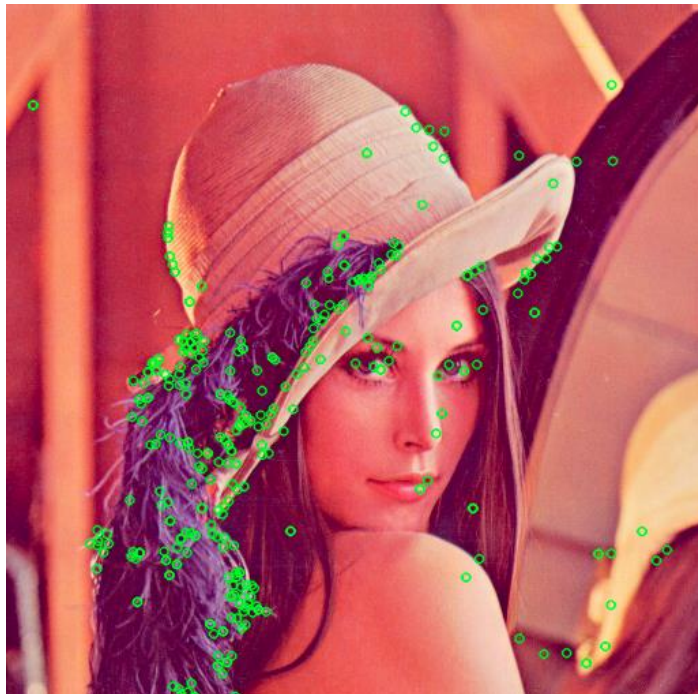
- Convolution par ces noyaux → détection des orientations



- Un descripteur possible : Histogramme des directions

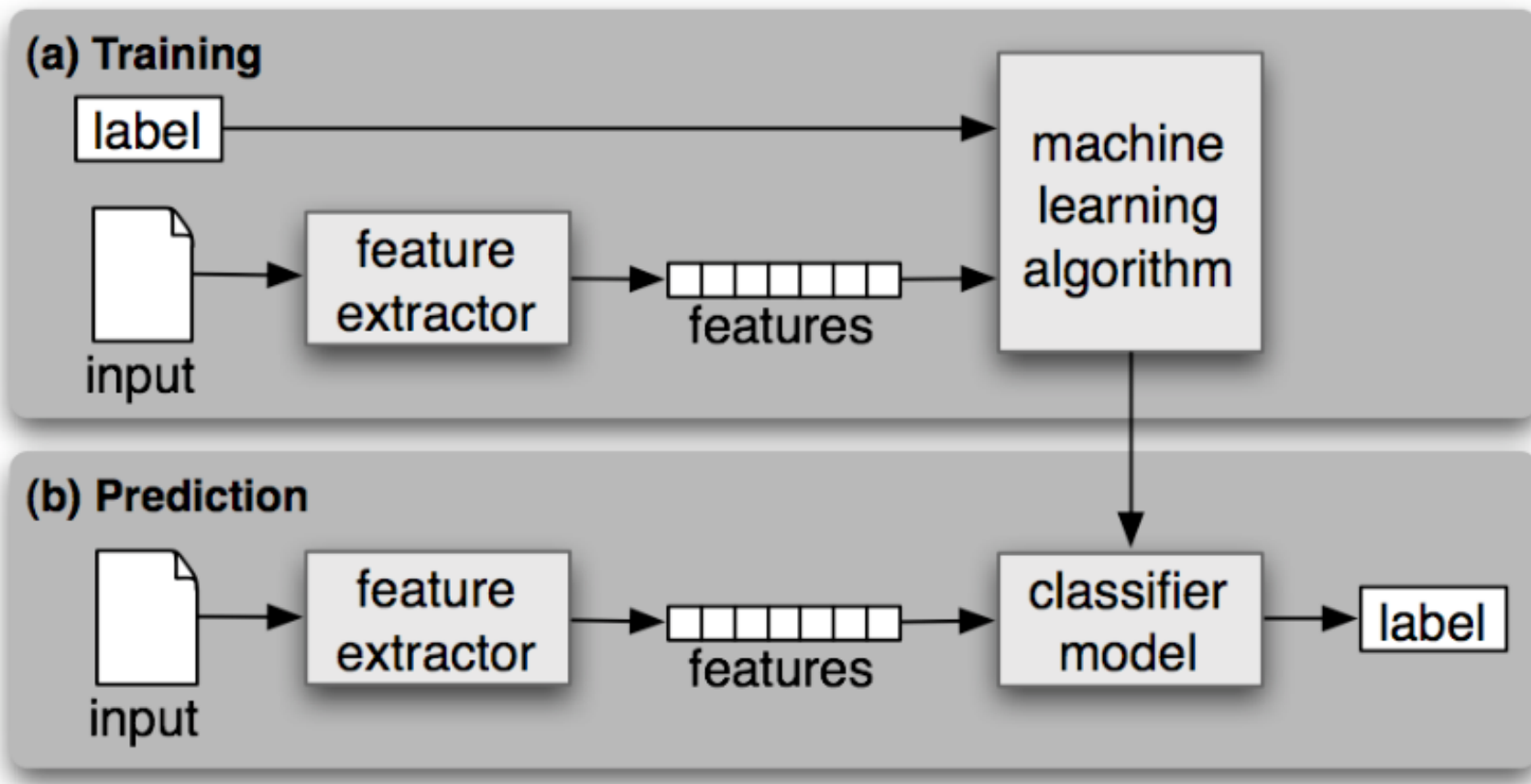
Histogramme des gradients orientés (HOG) [Dalal, 2005]

- Norme du gradient : $G = \sqrt{G_x^2 + G_y^2}$
- Direction du gradient : $\Theta = \arctan\left(\frac{G_y}{G_x}\right)$
- Seuil sur la norme \Rightarrow détection de points d'intérêts



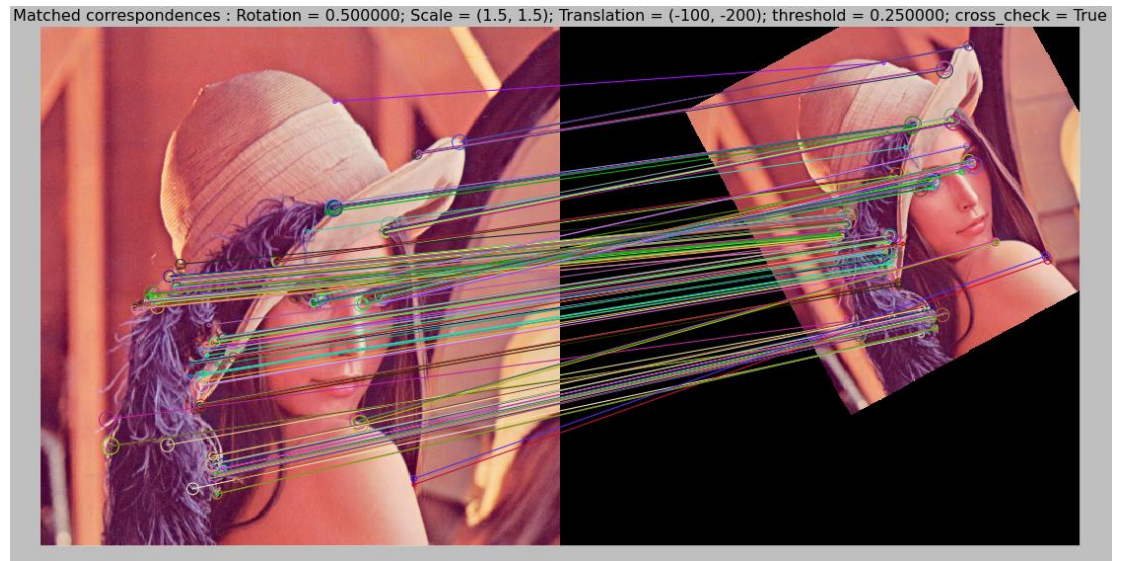
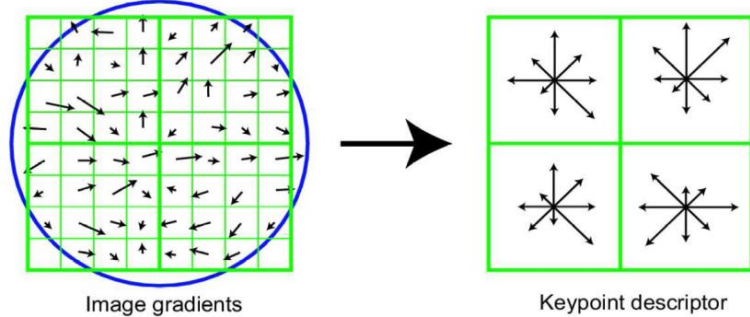
Classification d'images "classique"

- Architectures "plates" (ou shallow)



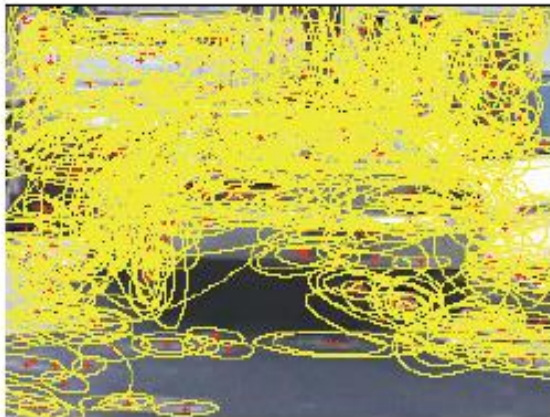
Classification d'images par "sac de mots visuels"

Descripteur local



- Descripteur discriminant extrait autour de points d'intérêts
- Histogramme d'orientations normalisé
- Invariant aux transformations : translation, échelle, rotation, affine
- Il en existe plusieurs : SIFT, SURF, ORB, BRIEF
- Le plus populaire est le **SIFT** [Lowe, 1999], mais breveté

Stratégies d'échantillonage



**Sparse, at
interest points**

[Csurka et al. 2004]
[2002]
[Fei-Fei & Perona, 2005]
[Sivic et al. 2005]



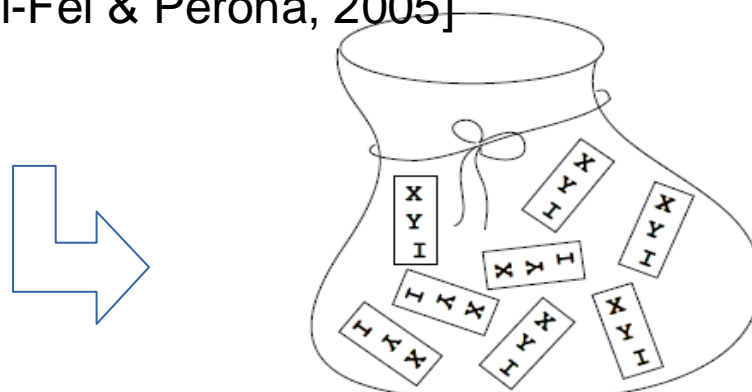
Dense, uniformly

[Vogel & Schiele, 2003]



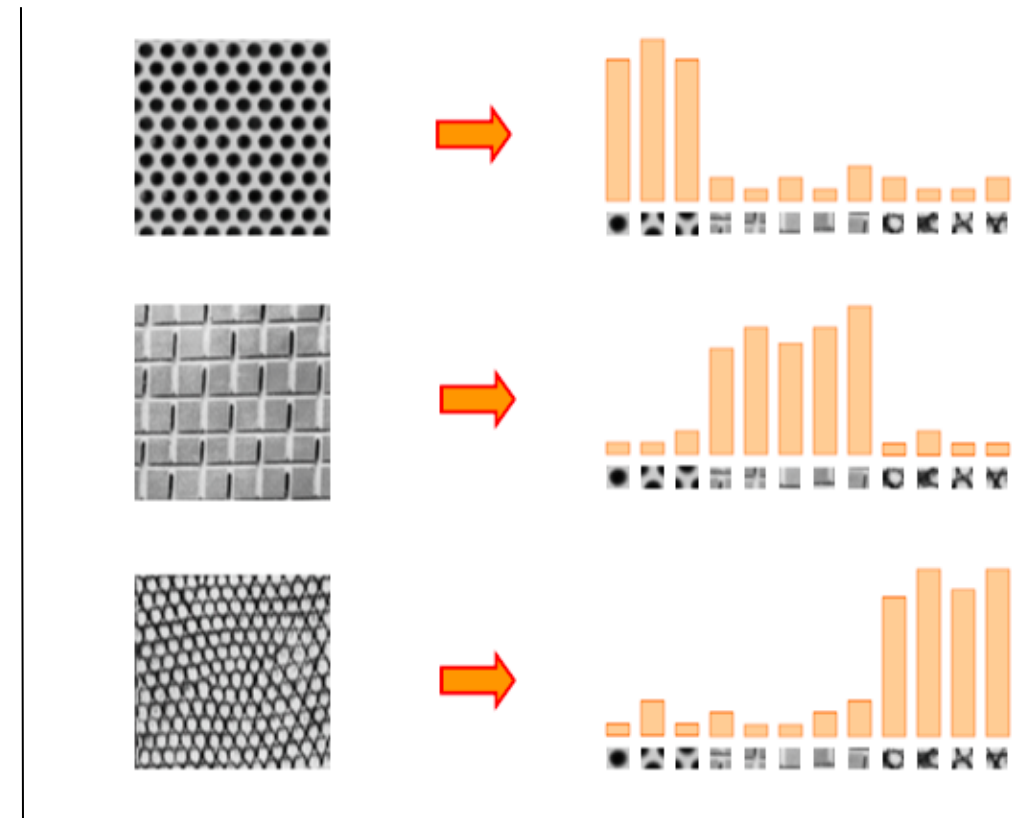
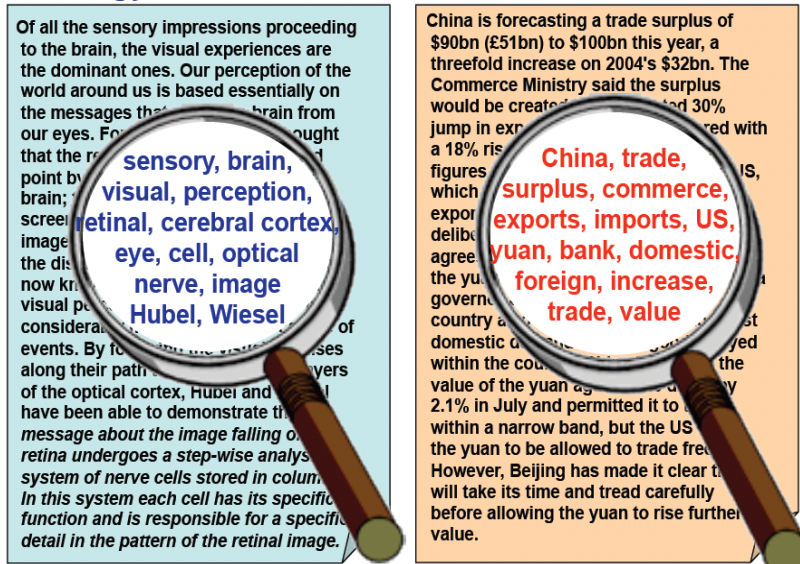
Randomly

[Vidal-Naquet & Ullman,



A set of points

Représentation par "sac de mots" (BoW)



- Plusieurs inspirations :
 - Représentation de documents textuels [Salton, 1983]
 - Perception de la texture → les textons [Julesz, 1981]
 - L'ordre et la caractérisation spatiale importent peu
 - Nécessite un dictionnaire (mots, textons, mots visuels)

Représentation par "sac de mots" (BoW)

- Les mots visuels : regroupement (clustering) de descripteurs locaux

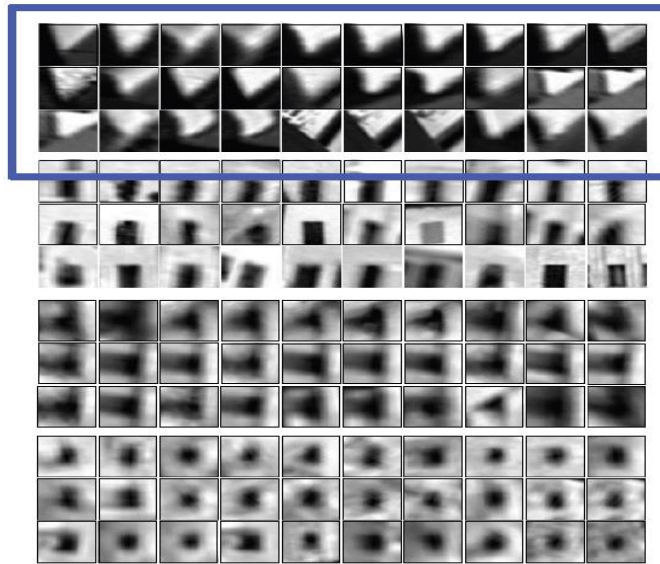
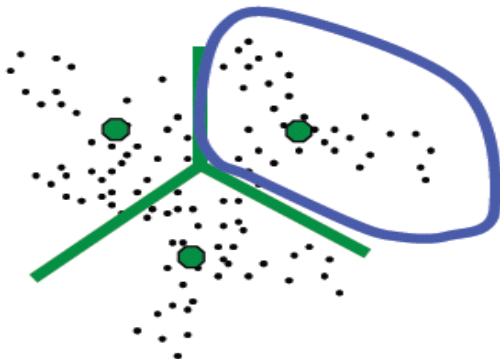
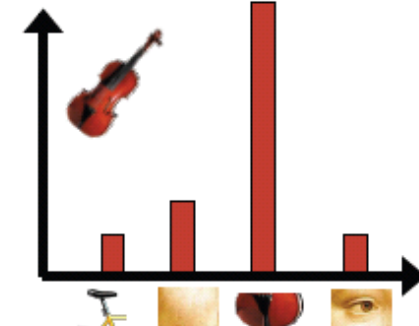
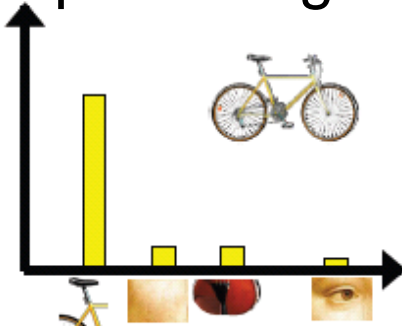
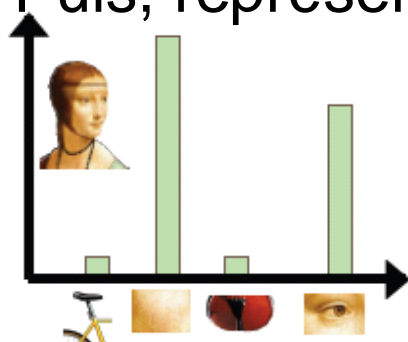
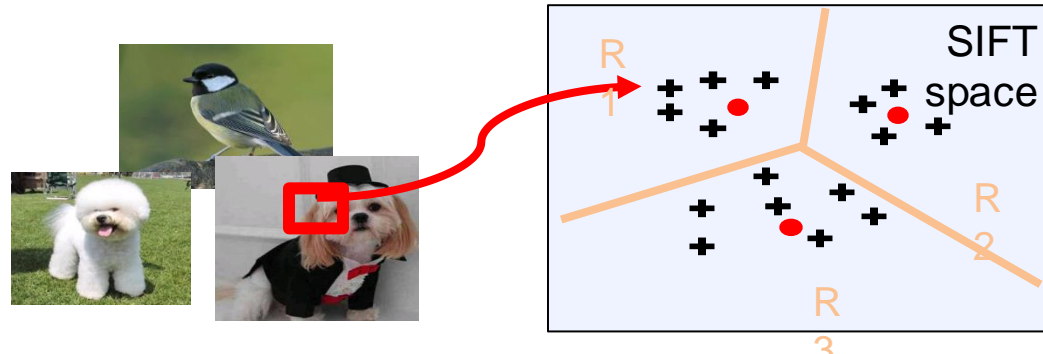


Figure from Sivic & Zisserman, ICCV 2003

- Typiquement : SIFT + Kmeans \Rightarrow Codebook (le dictionnaire)
 - Puis, représentation par histogramme de mots-visuels



Codebook learning & Vector Quantization



- Apprentissage du codebook (non-supervisé)

- Kmeans

$$q_{ki} = \operatorname{argmin}_k \| \mathbf{x}_i - \mu_k \|^2$$

- GMM

$$p(\mathbf{x}|\mu_k, \Sigma_k) = \frac{1}{\sqrt{(2\pi)^D \det \Sigma_k}} e^{-\frac{1}{2}(\mathbf{x}-\mu_k)^\top \Sigma_k^{-1} (\mathbf{x}-\mu_k)}$$

- Supervisé : un codebook par classe, LDA, Sparse coding, ...

- Quantification des vecteurs

→ Assignation des vecteurs (SIFT) aux clusters

- Hard assignment (plus proche voisin)

$$q_{ki} = \operatorname{argmin}_{\mu_k} \| \mathbf{x}_i - \mu_k \|^2$$

- Soft assignment (selon la distance aux clusters)

$$q_{ki} = \frac{p(\mathbf{x}_i|\mu_k, \Sigma_k)\pi_k}{\sum_{j=1}^K p(\mathbf{x}_i|\mu_j, \Sigma_j)\pi_j}, \quad k = 1, \dots, K$$

BoW : vector quantization (*vq* ou *coding*)

- Hard assignment
 - Augmente la sparsité des représentations
 - Génère de l'instabilité selon la taille du codebook
- Soft assignment
 - Représentation dense, peu redondante
- Stratégie hybride
 - ie : soft assignment sur les K plus proches voisins

Bag of Words issues

- Taille et algorithme d'apprentissage du codebook ?
 - Trop petit: mots visuels peu représentatifs de la base d'apprentissage
 - Trop gros: problème de quantification, sur-apprentissage
- Quelle stratégies d'échantillonage, quantification et pooling ?
- Passage à l'échelle ?
 - Millions d'images => milliards de SIFT.. (tirage aléatoire)
- Quelle classification à partir de cette représentation ?
- Comment intégrer la distribution spatiale des descripteurs ?
- Apprentissage joint de la représentation et du classifieur ?

Spatial pyramid matching



→ Pooling spatial [Lazebnik & al., 2006]

BoW : classification d'images

Codebook Learning

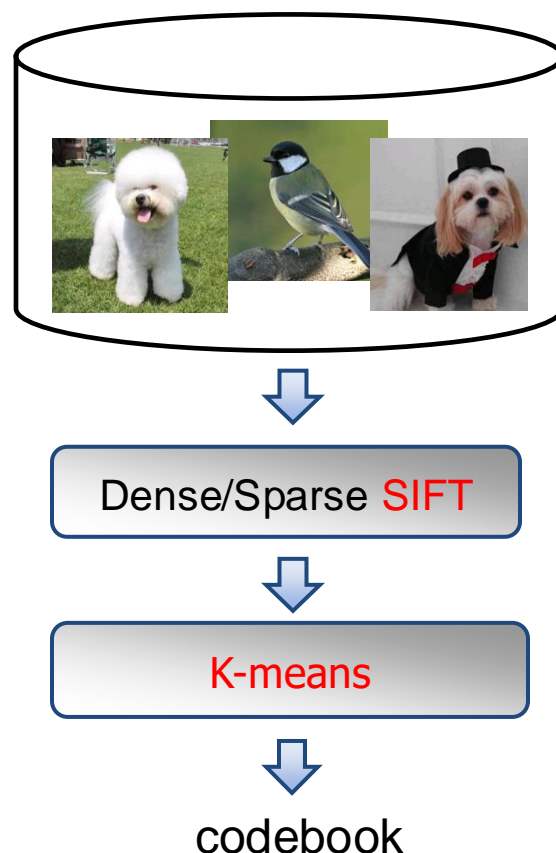
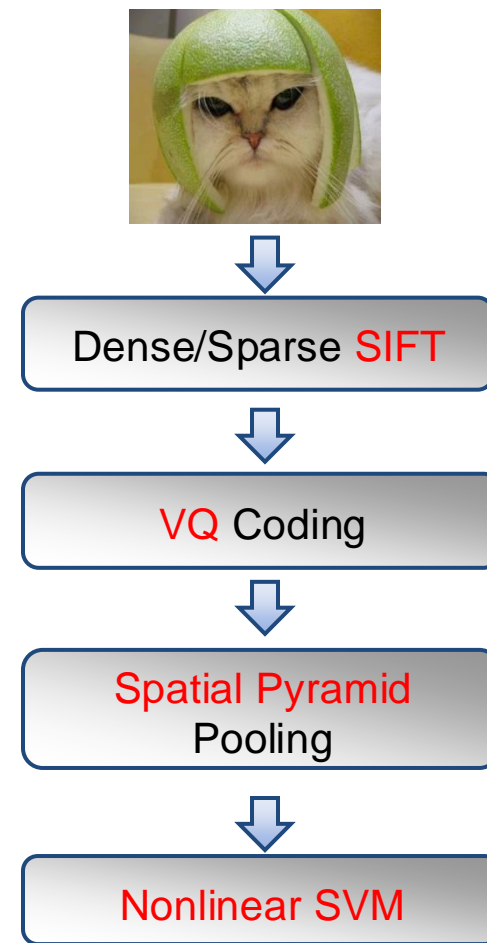


Image Classification



Combining multiple descriptors

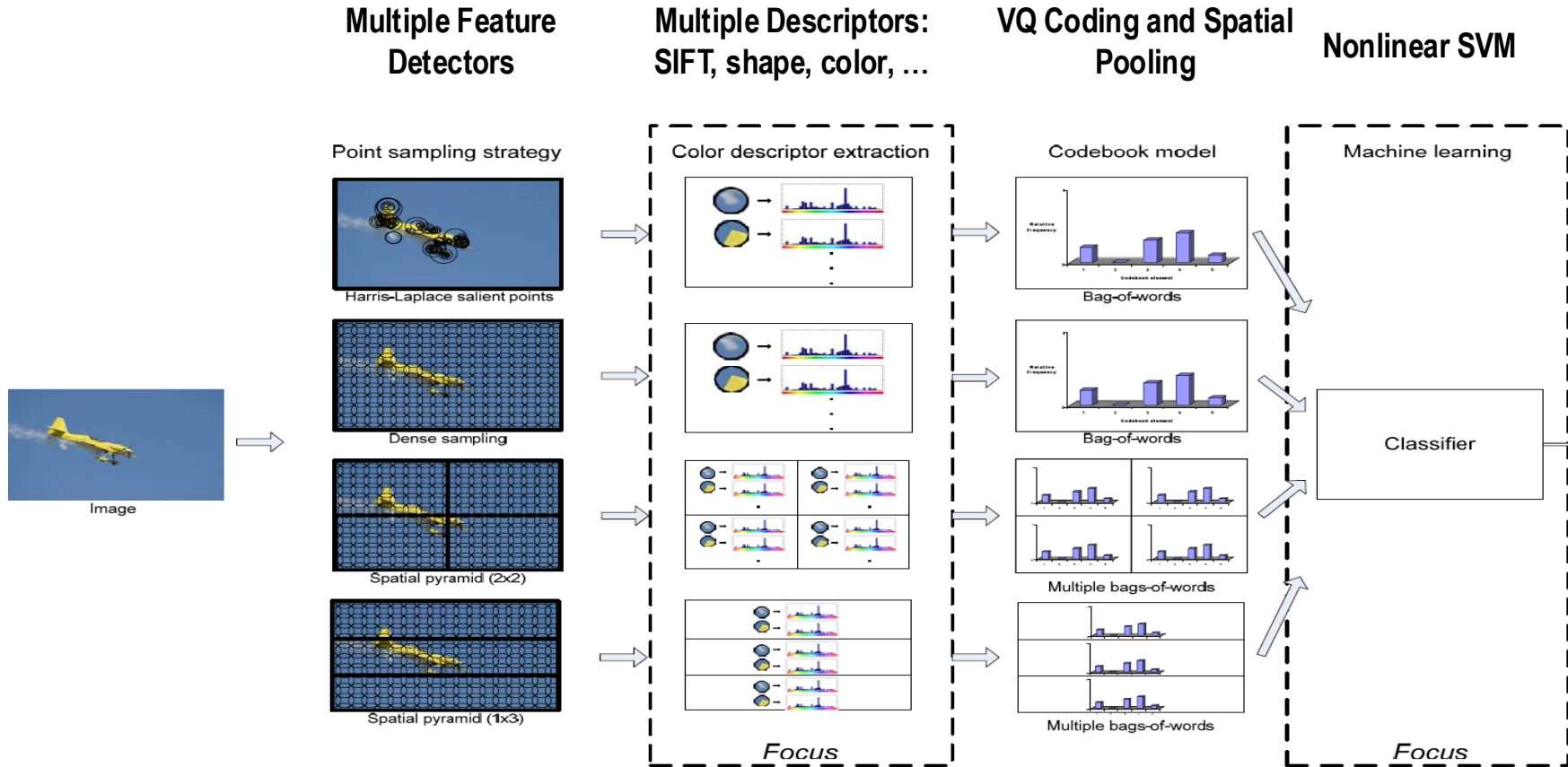


Diagram from SurreyUVA_SRKDA, winner team in PASCAL VOC 2008

Classification d'images par Sparse Coding

Sparse Coding

- Codage du signal avec contrainte de sparsité [Olshausen and Field, 1997]
 - Apprentissage de dictionnaire (codebook) pour la représentation parcimonieuse du signal

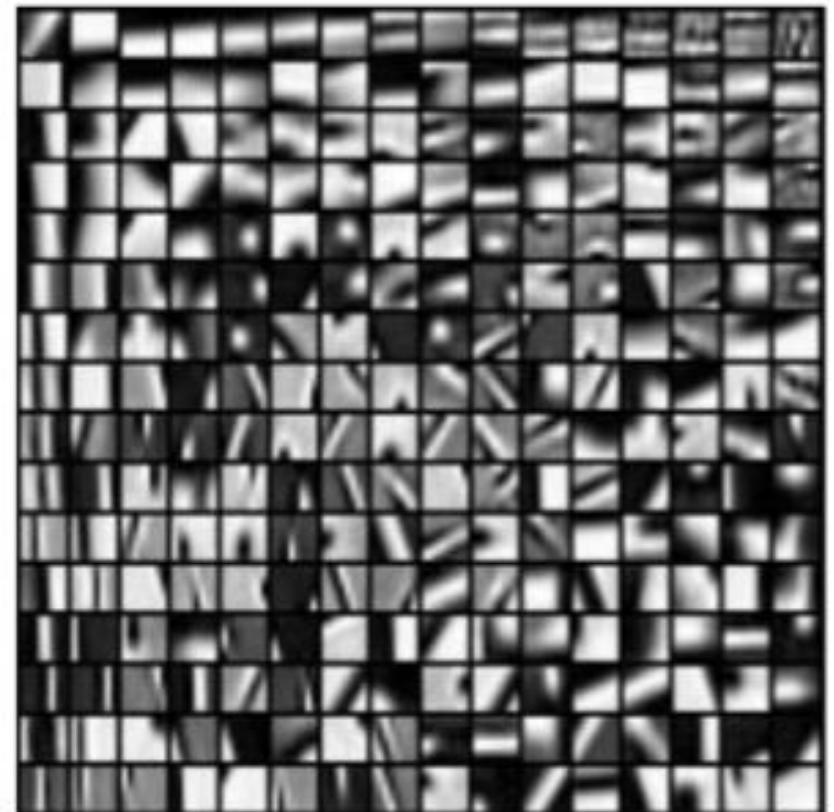
$$\min_{\alpha_i, \mathbf{D} \in \mathcal{C}} \sum_i \underbrace{\frac{1}{2} \|\mathbf{y}_i - \mathbf{D}\alpha_i\|_2^2}_{\text{data fitting term}} + \underbrace{\lambda \psi(\alpha_i)}_{\text{sparsity-inducing regularization}}$$

- La fonction ψ induit la parcimonie sur les alpha
 - Pseudo-norme L0 : $\#\langle_i \neq 0$ (NP-hard)
 - Norme L1 : $\bigcirc |K_i|$ (\sim convex)

⇒ [Olshausen and Field, 1997], [Engan et al., 1999], [Lewicki and Sejnowski, 2000], [Aharon et al., 2006], [Roth and Black, 2005], [Lee et al., 2007]

Sparse Coding

- Nombreuses applications
 - Image denoising [Elad and Aharon, 2006]



Sparse Coding

- Nombreuses applications
 - Image denoising [Elad and Aharon, 2006]



Sparse Coding

- Nombreuses applications
 - Image restoration [Mairal, Sapiro, and Elad, 2008]



Sparse Coding

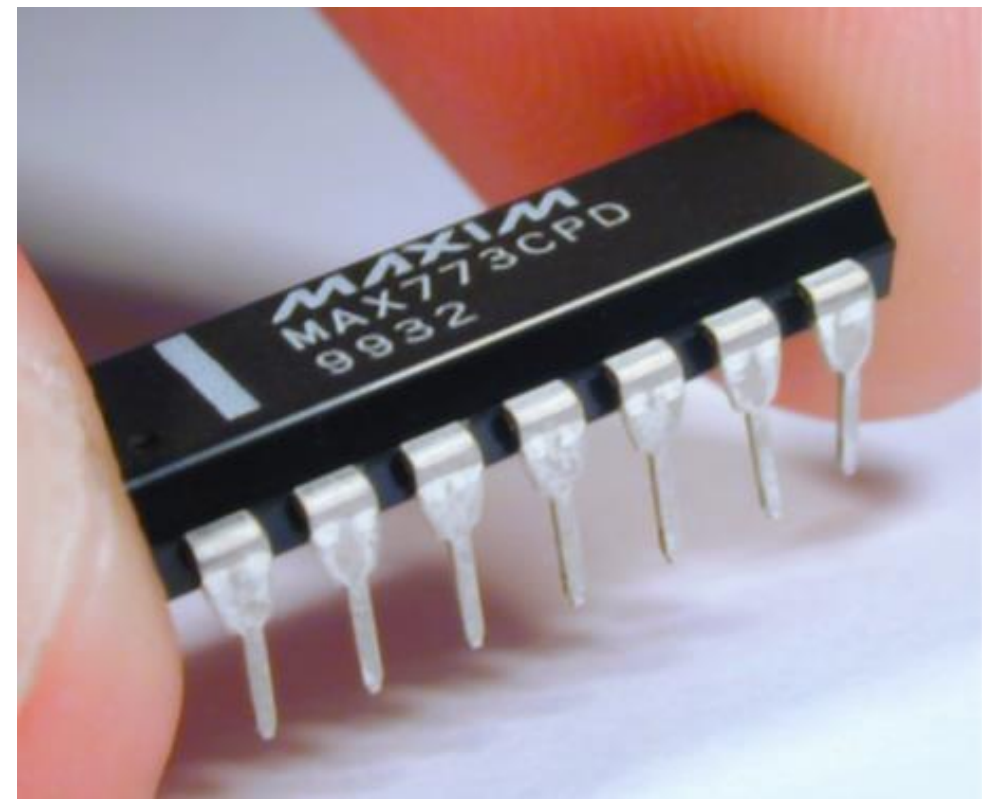
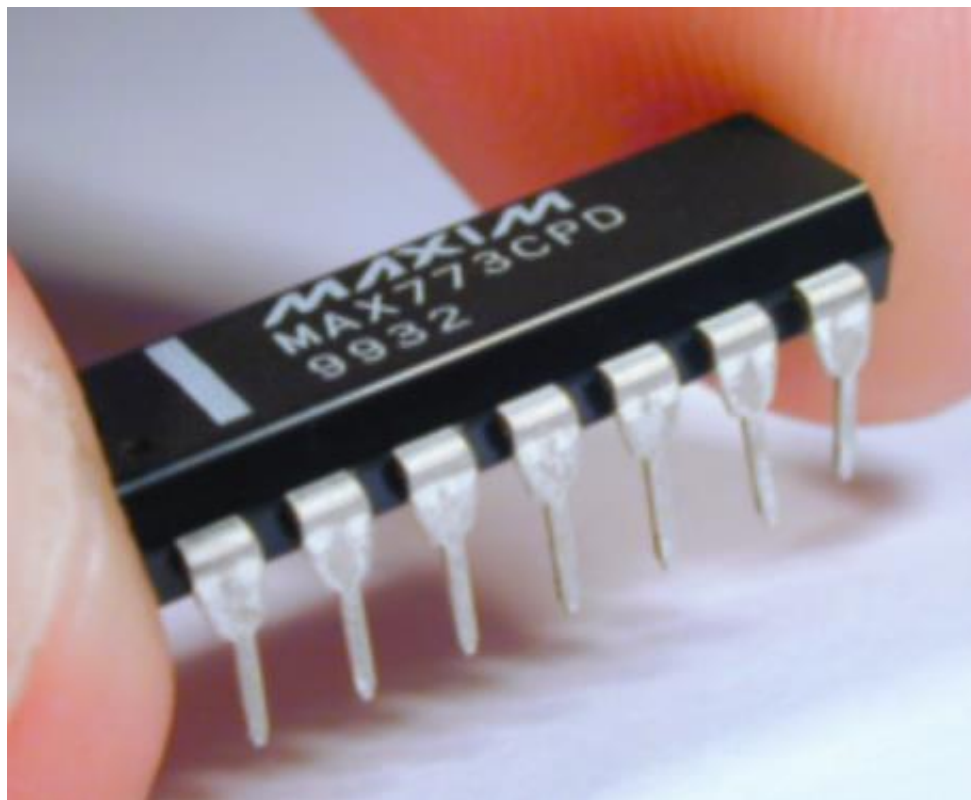
- Nombreuses applications
 - Inpainting [Mairal, Elad, and Sapiro, 2008b]

Since 1699, when French explorers landed at the great bend of the Mississippi River and celebrated the first Mardi Gras in North America, New Orleans has brewed a fascinating mélange of cultures. It was French, then Spanish, then French again, then sold to the United States. Through all these years, and even into the 1900s, others arrived from everywhere: Acadians (Cajuns), Africans, indige-



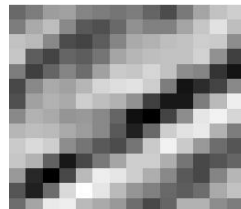
Sparse Coding

- Nombreuses applications
 - Digital zooming [Couzinie-Devy, 2010]



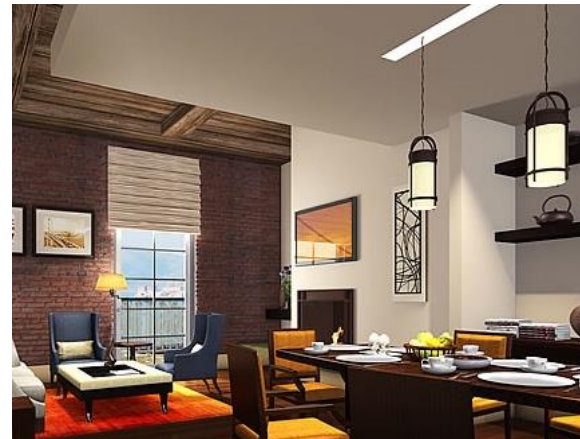
Sparse Coding

- Un patch de 14x14 pixels est représenté par 196 valeurs (souvent redondantes)



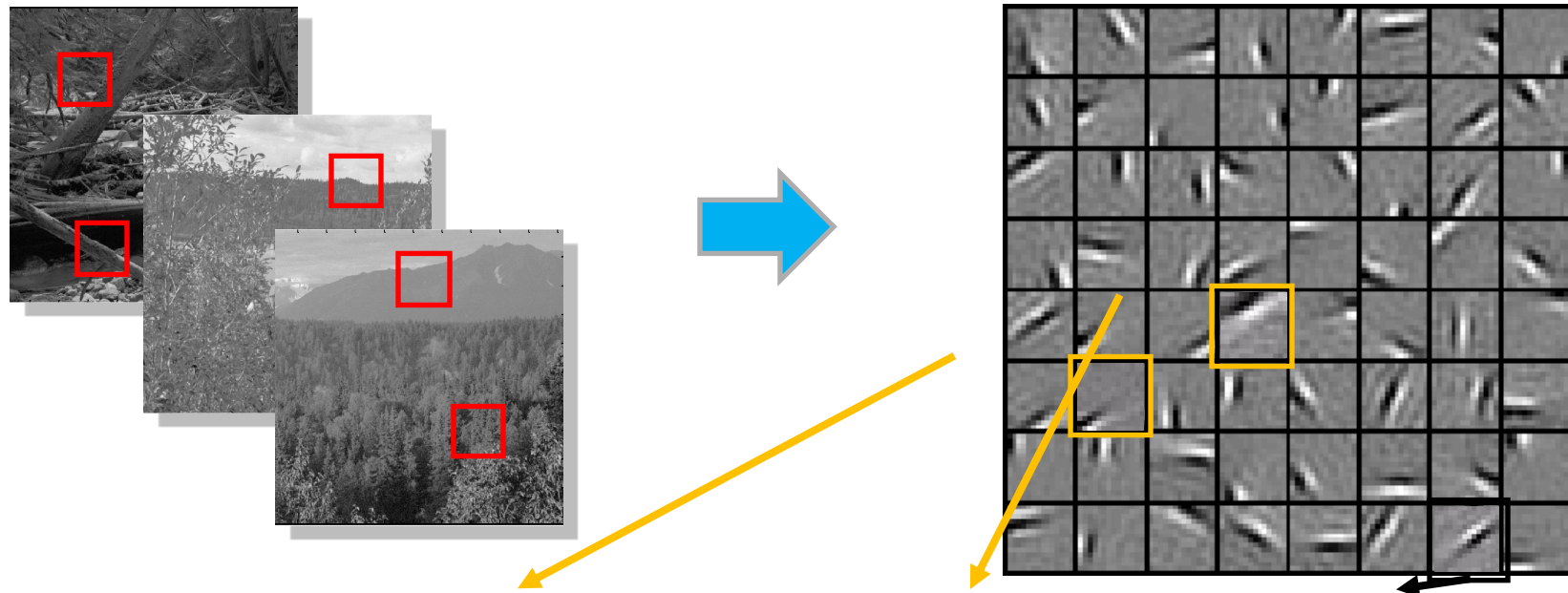
- Problème: Pouvons nous apprendre une meilleure représentation ?

Unsupervised feature learning



Etant donné un ensemble d'images, pouvons nous apprendre une meilleure représentation que les pixels ?

Sparse coding : illustration



Exemple test

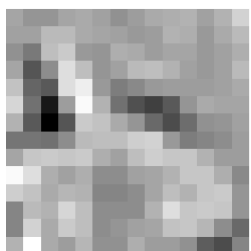


$$X \approx 0.8 * \phi_{36} + 0.3 * \phi_{42} + 0.5 * \phi_{63}$$

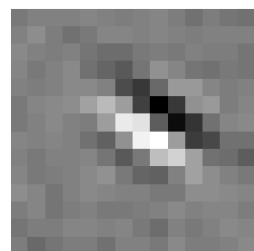
$[0, 0, \dots, 0, \mathbf{0.8}, 0, \dots, 0, \mathbf{0.3}, 0, \dots, 0, \mathbf{0.5}, \dots]$

$= [a_1, \dots, a_{64}]$ (feature representation)

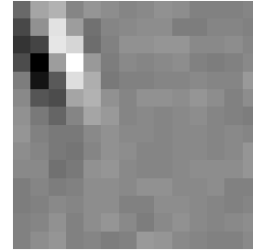
D'autres exemples



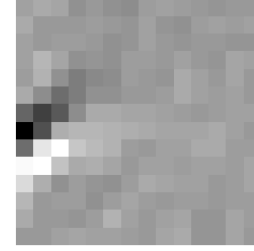
$\approx 0.6 * \quad$



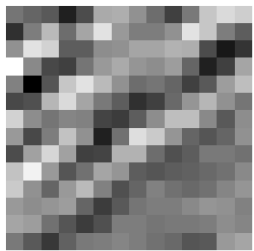
$+ 0.8 * \quad$



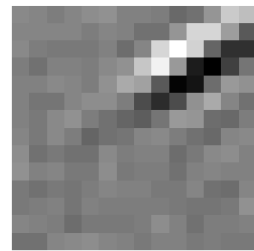
$+ 0.4 * \quad$



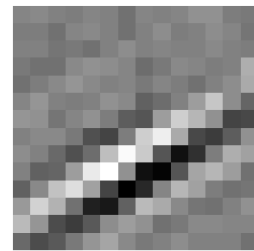
Représenté par: [0, 0, ..., 0, 0.6, 0, ..., 0, 0.8, 0, ..., 0, 0.4, ...]



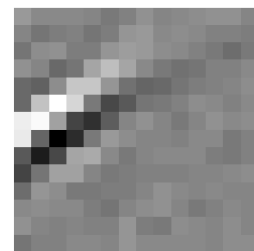
$\approx 1.3 * \quad$



$+ 0.9 * \quad$



$+ 0.3 * \quad$

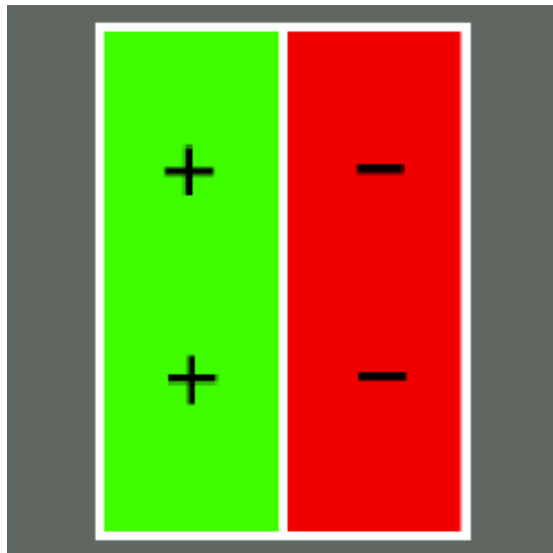


Représenté par: [0, 0, ..., 0, 1.3, 0, ..., 0, 0.9, 0, ..., 0, 0.3, ...]

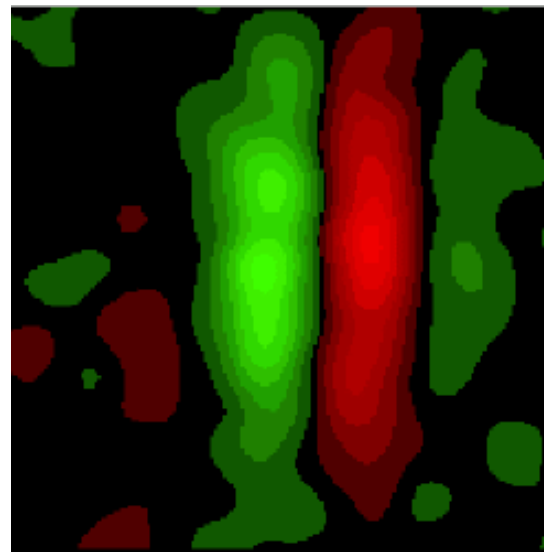
- Les images sont décomposées en patches élémentaires, proches des filtres de Gabor
- Les coefficients constituent une représentation plus compacte et de plus haut niveau que les pixels

Première étape du cortex visuel: V1

La première étape du cortex visuel fait de la “détection d'orientation” ..



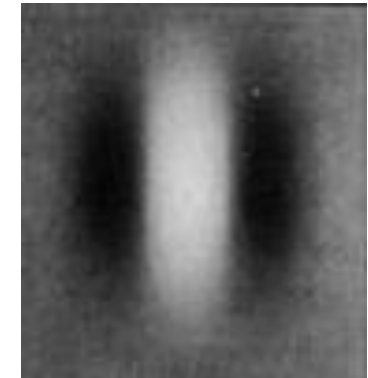
Schematic of simple cell



Actual simple cell



“Gabor functions”



Sparse coding : algorithme

Entrée: patches $y^{(1)}, y^{(2)}, \dots, y^{(m)}$

$$\min_{\alpha_i, D \in \mathcal{C}} \sum_i \underbrace{\frac{1}{2} \|y_i - D\alpha_i\|_2^2}_{\text{reconstruction}} + \underbrace{\lambda \psi(\alpha_i)}_{\text{sparsity}}$$

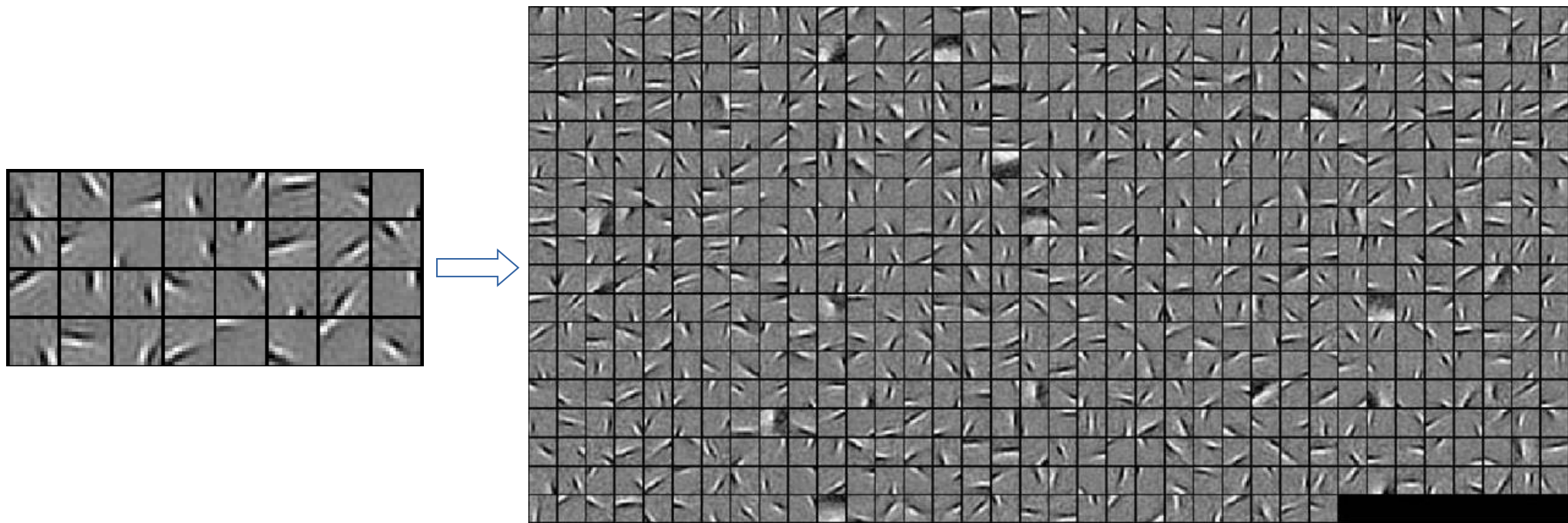
Optimisation alternée:

- fixer les alphas, minimiser sur D
- fixer D, minimiser sur les alphas

jusqu'à "convergence"

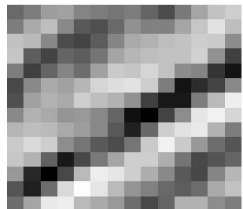
Sparse coding : algorithme

- De nombreuses améliorations pour passer à l'échelle

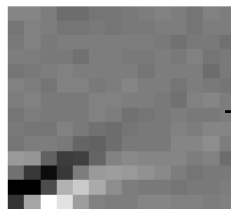


- "Feature-sign search algorithm"
[Honglak Lee, Alexis Battle, Rajat Raina, and Andrew Y. Ng,
2006]

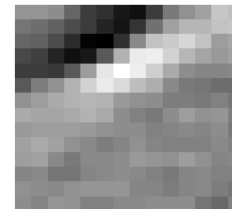
Sparse coding pour la classification d'images



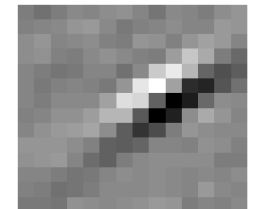
$\approx 0.8 *$



$+ 0.3 *$



$0.5 *$

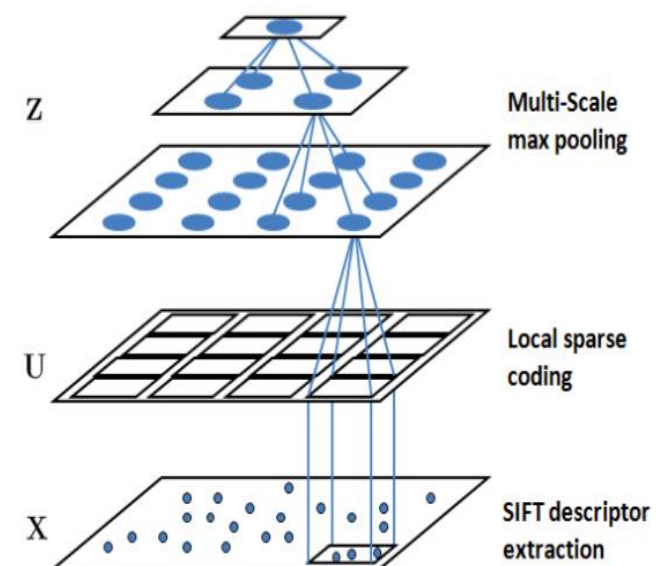


[0, 0, ..., 0, **0.8**, 0, ..., 0, **0.3**, 0, ..., 0, **0.5**, ...]

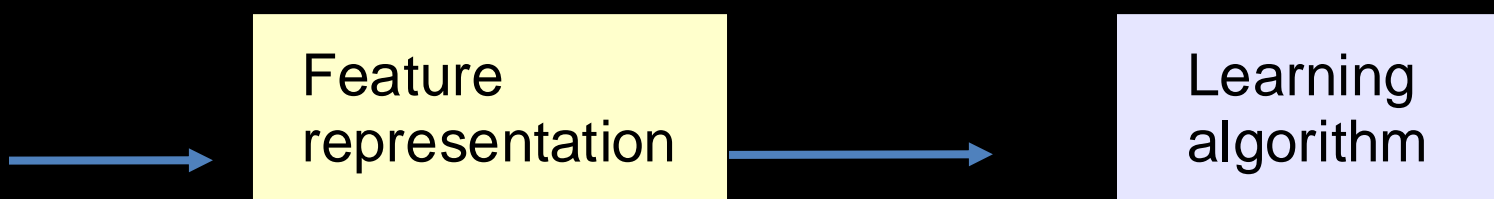
- Bien meilleur qu'une représentation par pixels, mais pas aussi compétitif que les SIFT (etc)
 - Combiner tout ça avec les SIFT !!
 - Deep learning ?

Sparse coding avec des SIFT

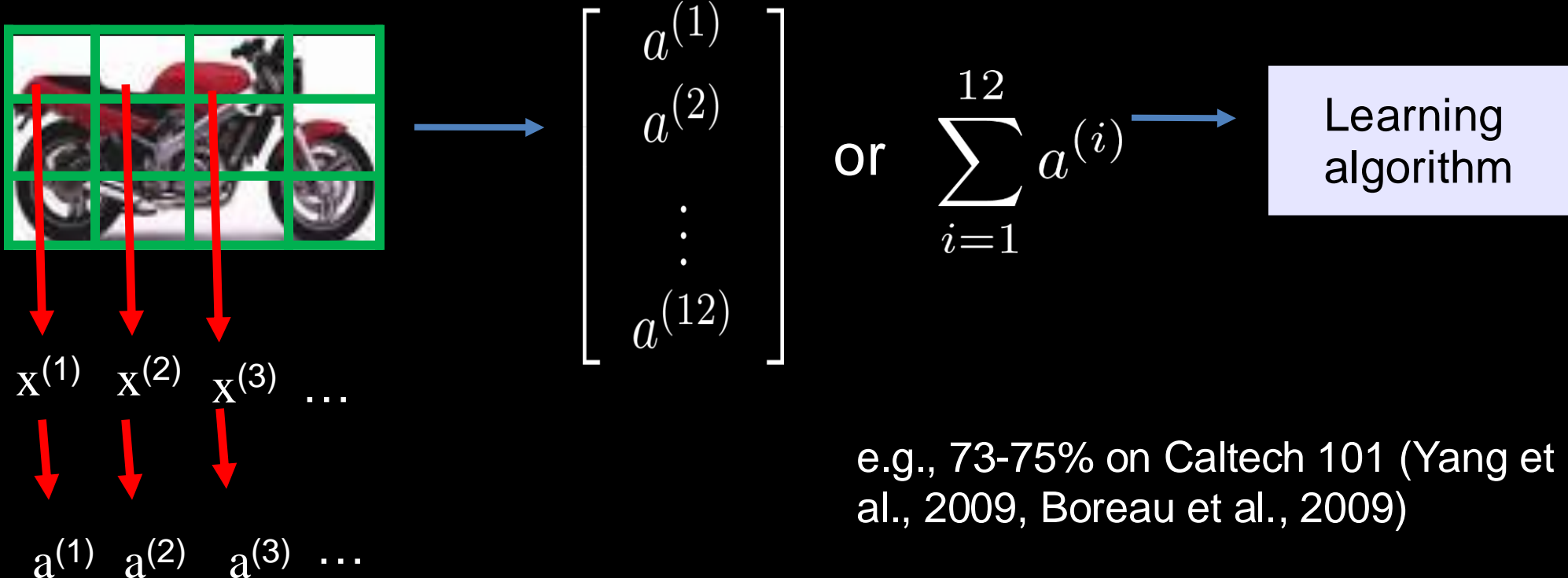
- Simplement remplacer les patchs par des vecteurs SIFT
 - apprend un dictionnaire (codebook) sparse
 - et fait le coding (*soft assignment*) en même temps
- Intègre facilement le pooling spatial
[Yang et al., 2009]



Putting it together



Suppose you've already learned bases $\phi_1, \phi_2, \dots, \phi_k$. Here's how you represent an image.



Du Sparse Coding au CNN

- SC produit des filtres redondants qui sont souvent des versions translatées des autres
 - Chaque patch est traité indépendamment
 - Ignore le traitement par convolution
- Idée

- Sparse coding sur l'image entière et contraindre le dictionnaire pour grouper les filtres

$$\ell(x, z, D) = \frac{1}{2} \|x - \sum_{k=1}^K D_k * z_k\|_2^2 + |z|_1$$

avec D_k un filtre 2D de taille $s \times s$, x une image $w \times h$ et z_k la réponse de la convolution : une image (feature map) de taille $(w + s - 1) \times (h + s - 1)$

- Avec non-linéarité

$$\mathcal{L}(x, z, \mathcal{D}) = \frac{1}{2} \|x - \sum_{k=1}^K \mathcal{D}_k * z_k\|_2^2 + \sum_{k=1}^K \|z_k - f(W^k * x)\|_2^2 + |z|_1$$